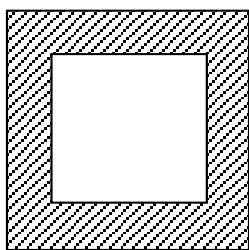
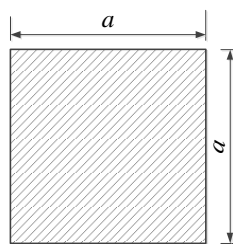


一、选择或填空（每空 2 分，共 20 分）

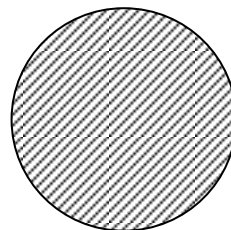
1、细长压杆的长度、横截面积、材料特性和约束条件完全相同，在相同承载条件下,采用（ A ）所示横截面形状的压杆稳定性最好，采用（ C ）最差。



(A)



(B)



(C)

2、下列关于疲劳破坏的说法中，正确的为（ C ）

- A) 脆性材料发生疲劳破坏和强度破坏时，其断口的形貌没有明显差别；
- B) 延性(塑性)材料，在发生疲劳破坏时，会出现明显的塑性变形；
- C) 疲劳破坏发生时，由于没有明显的征兆，极容易造成较难预料事故；
- D) 疲劳特性主要是通过理论的方法进行分析。

3、材料力学关于拉压杆的平面假设的说法，最合理的是（ C ）

- A) 适用于直杆的每一个横截面；
- B) 适用于除了端部附近处以外直杆的各个截面；
- C) 适用于距离载荷作用处有一定距离的直杆的各个截面；
- D) 适用于任何形状横截面的直杆。

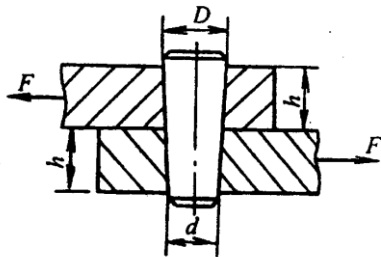
4、卡氏定理有两个表达式：(a)  $\Delta = \frac{\partial V_\epsilon}{\partial F}$ ，(b)  $\Delta = \int \frac{M(x)}{EI} \frac{\partial M(x)}{\partial F} dx$ ，其中表达式(a)适用于（线弹性构件），表达式(b)适用于（线弹性梁的弯曲）

5、铸铁轴向拉伸试验破坏，以下说法正确的是（ C ）

- A) 切应力是破坏原因，破坏断面在与轴线夹角  $45^\circ$  方向；
- B) 切应力是破坏原因，破坏断面为横截面；
- C) 正应力是破坏原因，破坏断面为横截面；
- D) 正应力是破坏原因，破坏断面在与轴线夹角  $45^\circ$  方向。

6、如图所示，两块厚度为  $h$  的板用圆锥形的销钉相连接，那么，圆锥形销钉的剪切强度

表达式为  $\left( \frac{F}{\frac{\pi}{4} \left( \frac{D+d}{2} \right)^2} \leq [\tau] \right)$

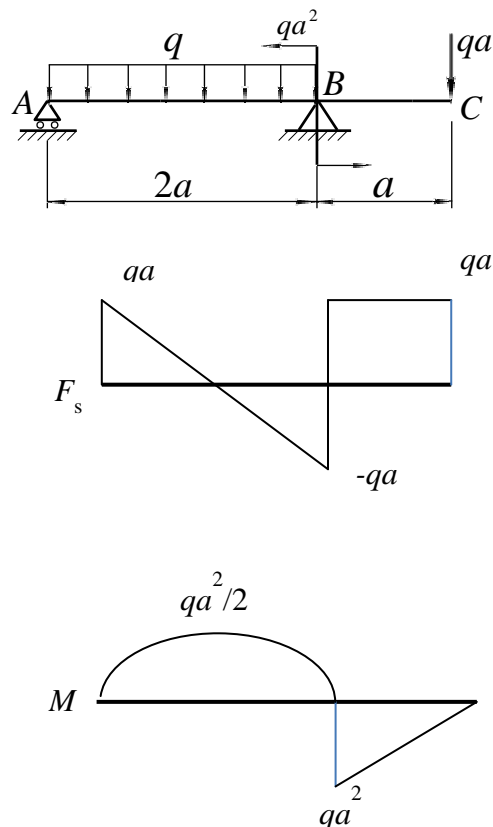


7、两根材料和柔度都相同的细长压杆，下列说法正确的是（ A ）

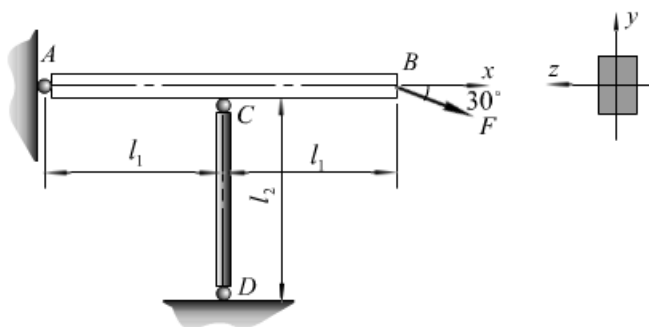
- A) 临界应力一定相等，临界压力不一定相等
- B) 临界应力不一定相等，临界压力一定相等
- C) 临界应力和临界压力一定相等
- D) 临界应力和临界压力不一定相等

8 已知自由落体冲击问题的动荷系数  $K_d$ ，对应静载荷问题的最大位移为  $\Delta_{jmax}$ ，则冲击问题的最大位移可以表示为  $K_d \Delta_{jmax}$ 。

二、梁受载荷如图所示，请画出梁的剪力图，弯矩图。（15 分）



三、如图所示结构，杆  $AB$  横截面面积  $A=21.5\text{cm}^2$ ，抗弯截面模量  $W_z=102\text{cm}^3$ 。圆截面杆  $CD$  直径  $d=20\text{mm}$ 。两杆材料相同， $E=200\text{GPa}$ ， $\sigma_s=250\text{MPa}$ ， $\sigma_p=200\text{MPa}$ 。压杆临界应力直线关系的参数  $a=304\text{MPa}$ ， $b=1.12\text{MPa}$ 。A、C、D 三处均为球铰约束，若已知： $l_1=1.25\text{m}$ ， $l_2=0.55\text{m}$ ， $F=20\text{kN}$ ，强度安全因素取  $n=1.5$ ，稳定性安全因素  $n_{st}=2.0$ ，校核此结构是否安全。（20 分）



把载荷  $F$  沿水平方向  $x$  和垂直方向  $y$  分解

$$F_x = F \cos 30^\circ = \frac{\sqrt{3}}{2} F$$

$$F_y = F \sin 30^\circ = \frac{1}{2} F$$

对 A 点的矩平衡得到

$$F_{CD} * l_1 + F_y * 2l_1 = 0$$

所以 CD 杆的内力为

$$F_{CD} = -2F_y = -F$$

说明 CD 杆为受压。

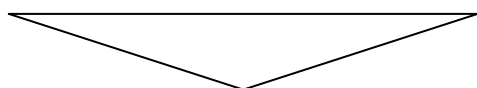
AB 段杆的轴力为

$$F_{AB} = F_x = \frac{\sqrt{3}}{2} F$$

由此可以求得 AB 段杆上的弯矩为

$$M_{AB} = \begin{cases} -\frac{1}{2} Fx' & 0 < x' < l_1 \\ -\frac{1}{2} Fx' + F(x' - l_1) & l_1 < x' < 2l_1 \end{cases}$$

AB 杆弯矩图



因此需要校核 AB 杆的强度和 CD 杆的稳定性

(1) 校核 AB 杆的强度

$$\begin{aligned}\sigma_{AB} &= \frac{F_{AB}}{A} + \frac{M_{\max}}{W} = \frac{\sqrt{3}}{2} \frac{F}{A} + \frac{Fl_1}{2W_z} \\ &= \frac{\sqrt{3}}{2} * \frac{20 * 10^3}{21.5 * 10^{-4}} + \frac{20 * 10^3 * 1.25}{2.0 * 10^2 * 10^{-6}} \\ &= 8.0 * 10^6 + 122.6 * 10^6 = 130.6(\text{MPa})\end{aligned}$$

因为

$$\sigma_{AB} < [\sigma] = \frac{\sigma_s}{n} = \frac{250 * 10^6}{1.5} = 166.7(\text{MPa})$$

所以 AB 杆从强度来看是安全的。

(2) 校核 CD 杆的稳定性

两端铰接，杆的柔度为

$$\lambda = \frac{ul}{i} = \frac{l_2}{d/4} = \frac{0.55}{20 * 10^{-3} / 4} = 110$$

而

$$\lambda_1 = \pi \sqrt{\frac{E}{\sigma_p}} = 3.14 * \sqrt{\frac{200 * 10^9}{200 * 10^6}} = \frac{ul}{i} = \frac{l_2}{d/4} = \frac{0.55}{20 * 10^{-3} / 4} = 99.3$$

因此欧拉公式适用

$$F_{cr} = \frac{\pi^2 EI}{l^2} = \frac{\pi^3 Ed^4}{64l_2^2} = \frac{3.14^3 * 200 * 10^9 * (20 * 10^{-3})^4}{(0.55)^2} = 51 * 10^3(\text{N})$$

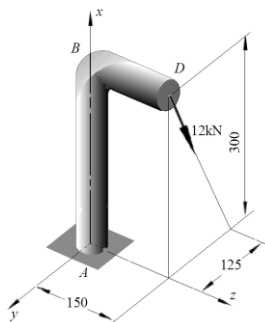
由于

$$F_{CD} < \frac{F_{cr}}{n_{st}} = \frac{51 * 10^3}{2} = 25.5 * 10^3(\text{N})$$

所以 CD 杆从稳定性角度来看是安全的。

综上所述，整个结构是安全。

四、直径  $d = 60\text{mm}$  的圆截面折杆，A 端固定，受力与其他尺寸如图所示。若材料为低碳钢，许用应力  $[\sigma] = 100\text{MPa}$ 。1) 确定该折杆的危险截面和危险点（请作图说明）；2) 画出危险点处的应力单元体，并作出该点的应力圆；3) 试按畸变能密度理论（第四强度理论）校核该杆的强度(忽略剪切)。（20 分）



把载荷沿 y 轴和 x 轴分解

$$F_y = F * \frac{125}{\sqrt{125^2 + 300^2}} = 12 * 10^3 * \frac{125}{325} = 4.62 * 10^3 (N)$$

$$F_x = F * \frac{300}{\sqrt{125^2 + 300^2}} = 12 * 10^3 * \frac{300}{325} = 11.08 * 10^3 (N)$$

BD 段最危险的截面在 B 点， B 点的最大弯矩值为

$$M_B = F * l_{BD} = 12 * 10^3 * 150 * 10^{-3} = 1.8 * 10^3 (N)$$

AB 段最危险的截面在 A 处， A 处横截面的轴力为

$$N_A = -F_x = -11.08 * 10^3 (N)$$

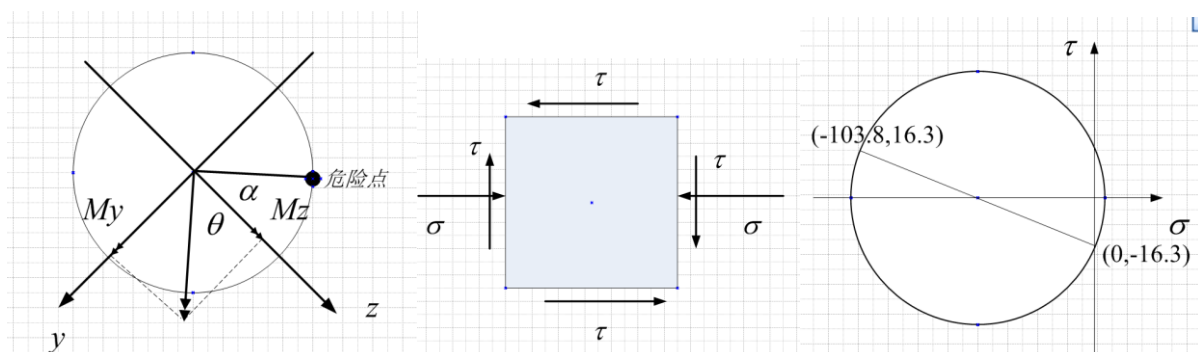
A 处横截面的扭矩为

$$M_x = -F_y * l_{BD} = -4.62 * 10^3 * 150 * 10^{-3} = -693 (N)$$

A 处横截面的弯矩沿着 y 轴和 z 轴的分量分别为

$$M_y = F_x * l_{BD} = 11.08 * 10^3 * 150 * 10^{-3} = 1662 (N)$$

$$M_z = F_y * l_{AB} = 4.62 * 10^3 * 300 * 10^{-3} = 1386 (N)$$



在 A 点，合弯矩的大小和方向为

$$M_A = \sqrt{M_y^2 + M_z^2} = 2164 (N)$$

$$\tan \theta = \frac{M_y}{M_z} = \frac{1662}{1386}$$

$$\theta = 40.2$$

这里， $\theta$  为 z 轴正方向到 y 轴正方向的夹角（如图所示）。

考虑到 AB 杆是受压，因此，整个结构的最危险截面在 A 处，最危险的点如图所示

$$\alpha = 39.8$$

危险点的压应力为

$$\sigma = \frac{N_A}{\pi d^2 / 4} - \frac{M_A}{\pi d^3 / 32} = -\frac{11.08 * 10^3}{3.14 * (60 * 10^{-3})^2 / 4} - \frac{2164}{3.14 * (60 * 10^{-3})^3 / 32}$$

$$= -9.8 * 10^5 - 102 * 10^6 = -103.8 * 10^6 (Pa) = -103.8 (MPa)$$

危险点的剪切应力为

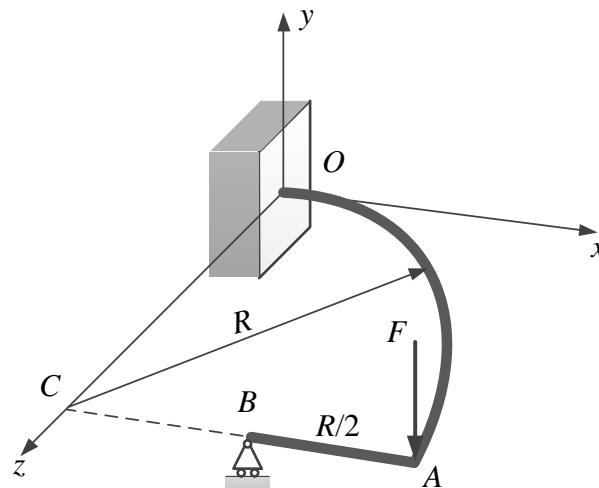
$$\tau = \frac{M_x}{\pi d^3 / 16} = \frac{693}{3.14 * (60 * 10^{-3})^3 / 16} = 16.3 * 10^6 (Pa) = 16.3 (MPa)$$

所以单元体的应力示意图和 Mohr 圆为  
按第四强度理论，其相当应力为

$$\sigma_{r4} = \sqrt{\sigma^2 + 3\tau^2} = \sqrt{103.8^2 + 3 * 16.3^2} = 107.6 (MPa) > [\sigma]$$

因此说，按第四强度理论本结构不安全。

五、图示水平面内的 1/4 圆弧形杆与一段直杆刚性连接，O 端固定，B 端滑动铰接（约束竖向位移），圆弧圆心为 C，半径为 R，直杆长 R/2，两杆截面均为直径为 d 的圆，材料弹性模量为 E，在 A 截面处作用有竖向集中力 F。求 A 处的竖向位移。（25 分）



解除滑动支座的约束。假设支座反力大小为 x，方向与 F 相同。解除约束反力后由外力 F 引起的内力为

$$AB \text{ 段: } M_F = T_F = 0$$

$$OA \text{ 段: } M_F = FR \sin \theta, T_F = FR(1 - \cos \theta)$$

如果单独在支座处施加一与支座约束反力相同方向的单位载荷，其引起的内力为

$$AB \text{ 段: } M_0 = x', T = 0, \text{ } x' \text{ 为横截面到支座处的距离}$$

$$OA \text{ 段: } M_0 = \frac{1}{2} R \sin \theta, T_0 = R(1 - \frac{1}{2} \cos \theta)$$

根据单位载荷法，

$$\delta_{11} = \int_0^{R/2} \frac{x'x'}{EI} dx' + \int_0^{\pi/4} \frac{1}{EI} \left( \frac{1}{2} R \sin \theta \right)^2 R d\theta + \int_0^{\pi/4} \frac{1}{GI_\rho} \left( R(1 - \frac{1}{2} \cos \theta) \right)^2 R d\theta$$

$$\delta_{1F} = \int_0^{\pi/4} \frac{1}{EI} \frac{1}{2} F (R \sin \theta)^2 R d\theta + \int_0^{\pi/4} \frac{1}{GI_\rho} F R (1 - \cos \theta) R (1 - \frac{1}{2} \cos \theta) R d\theta$$

所以

$$\begin{aligned} \delta_{11} &= \frac{64R^3}{E\pi d^4} \left( \frac{\pi}{32} - \frac{1}{48} \right) + \frac{32R^3}{G\pi d^4} \left( \frac{9\pi}{32} - \frac{\sqrt{2}}{2} + \frac{1}{16} \right) \\ &= \frac{R^3}{Ed^4} \left( 2 - \frac{4}{3\pi} \right) + \frac{R^3}{Gd^4} \left( 9 - \frac{16\sqrt{2}}{\pi} + \frac{2}{\pi} \right) \\ &= 1.57 \frac{R^3}{Ed^4} + 2.43 \frac{R^3}{Gd^4} \end{aligned}$$

$$\begin{aligned} \delta_{1F} &= \frac{64R^3F}{E\pi d^4} \left( \frac{\pi}{16} - \frac{1}{8} \right) + \frac{32R^3F}{G\pi d^4} \left( \frac{5\pi}{16} - \frac{3\sqrt{2}}{4} + \frac{1}{8} \right) \\ &= \frac{R^3F}{Ed^4} \left( 4 - \frac{8}{\pi} \right) + \frac{R^3F}{Gd^4} \left( 10 - \frac{24\sqrt{2}}{\pi} + \frac{4}{\pi} \right) \\ &= 1.45 \frac{R^3F}{Ed^4} + 0.46 \frac{R^3F}{Gd^4} \end{aligned}$$

应用正则方程

$$\delta_{11}X + \delta_{1F} = 0$$

可以得到支座反力为

$$X = - \frac{\frac{1.45}{E} + \frac{0.46}{G}}{\frac{1.57}{E} + \frac{2.43}{G}} F = \alpha F, \quad \alpha = - \frac{\frac{1.45}{E} + \frac{0.46}{G}}{\frac{1.57}{E} + \frac{2.43}{G}}$$

其中负号表示支座反力的方向与 F 相反，也就是说垂直向上。

根据叠加原理，杆的内力为

$$\text{AB 段: } M = XM_0 = \alpha F x', T = 0$$

$$\text{OA 段: } M = XM_0 + X_F = \left( \frac{1}{2} \alpha + 1 \right) FR \sin \theta, T = XT_0 + T_F = \left( (\alpha + 1) - \left( \frac{1}{2} \alpha + 1 \right) \cos \theta \right) FR$$

在 A 点施加一与外力 F 方向相同的单位载荷后其所引起的内力为

$$\text{AB 段: } \bar{M} = \alpha x', T = 0$$

$$\text{OA 段: } \bar{M} = \left(\frac{1}{2}\alpha + 1\right)R \sin \theta, \bar{T} = \left((\alpha + 1) - \left(\frac{1}{2}\alpha + 1\right)\cos \theta\right)R$$

所以 A 点的竖向位移为

$$\delta_A = \int_0^{R/2} \frac{\alpha^2 x' x'}{EI} F dx' + \int_0^{\pi/4} \frac{1}{EI} \left(\frac{1}{2}\alpha + 1\right)^2 \sin^2 \theta F R^3 d\theta + \int_0^{\pi/4} \frac{1}{GI_\rho} \left((\alpha + 1) - \left(\frac{1}{2}\alpha + 1\right)\cos \theta\right)^2 F R^3 d\theta$$

$$\delta_A = \beta F$$

其中

$$\beta = \int_0^{R/2} \frac{\alpha^2 x' x'}{EI} dx' + \int_0^{\pi/4} \frac{1}{EI} \left(\frac{1}{2}\alpha + 1\right)^2 \sin^2 \theta R^3 d\theta + \int_0^{\pi/4} \frac{1}{GI_\rho} \left((\alpha + 1) - \left(\frac{1}{2}\alpha + 1\right)\cos \theta\right)^2 R^3 d\theta$$